

**УПРОЩЕННАЯ МАТЕМАТИЧЕСКАЯ МОДЕЛЬ  
ДЛЯ ИССЛЕДОВАНИЯ НЕЛИНЕЙНЫХ КОЛЕБАНИЙ  
ФРИКЦИОННЫХ НАМОТОЧНЫХ МЕХАНИЗМОВ РЫЧАЖНОГО ТИПА  
И ЕЕ АНАЛИЗ МЕТОДАМИ КАЧЕСТВЕННОЙ  
ТЕОРИИ ДИФФЕРЕНЦИАЛЬНЫХ УРАВНЕНИЙ**

**THE SIMPLIFIED MATHEMATICAL MODEL  
FOR RESEARCH OF NONLINEAR VIBRATIONS  
OF FRICTION WINDING LEVERAGE MECHANISMS  
AND ITS ANALYSIS BY THE METHODS OF THE QUALITATIVE THEORY  
OF DIFFERENTIAL EQUATIONS**

*Г.И. ЧИСТОБОРОДОВ, Д.С. МАЛЕЕВ, С.Г. СТЕПАНОВ  
G.I. CHISTOBORODOV, D.S. MALEEV, S.G. STEPANOV*

(Ивановская государственная текстильная академия,  
Ивановский государственный архитектурно-строительный университет)  
(Ivanovo State Textile Academy;  
Ivanovo State University of Civil Engineering and Architecture)  
E-mail: ttp@igta.ru

*В работе установлено, что взаимодействие вынужденных колебаний и автоколебаний качественно и количественно изменяет характер колебаний фрикционных намоточных механизмов.*

*It is established that interaction of forced vibrations and avtovibrations changes the character of the vibrations of friction winding mechanisms qualitatively and quantitatively.*

**Ключевые слова:** фрикционные намоточные механизмы, нелинейные колебания, математическая модель.

**Keywords:** friction winding mechanisms, nonlinear vibrations, forced vibrations, avtovibrations, a mathematical model.

В [1] получена математическая модель (22) для исследования нелинейных колебаний фрикционных намоточных механизмов рычажного типа. Ввиду сложности полученной математической модели ее точное аналитическое решение в общем виде получить практически невозможно, а получение приближенного аналитического решения крайне затруднительно.

Рассмотрим частный случай, вытекающий из полученной математической модели [1 (22)], в результате введения следующих упрощающих допущений:

1) отбросим в правых частях уравнений члены, содержащие в качестве множителей  $\ddot{\phi}$ , так как в области рабочих и критических скоростей  $\ddot{\phi} \ll \dot{\phi}$ ;

2) пренебрежем нелинейной составляющей упругой силы контактного взаимодействия между телом намотки и фрикционным цилиндром [1 (6)], то есть примем  $\gamma = 0$ ;

3) считаем, что демпфирование в системе отсутствует;

4) пренебрежем в четвертом и в пятом уравнениях системы гироскопическими членами, так как для большинства бобинодержателей полярный момент инерции  $C$  намного меньше экваториального момента инерции  $A$  ( $C/A = 0,02 - 0,03$ ) и влияние  $C$  на динамику намоточного механизма незначительно;

5) будем рассматривать колебание системы относительно положения статического равновесия, что позволяет исключить из уравнений силы веса рычага, рото-

ра и статическую составляющую упругой силы контактного взаимодействия между телом катушки и фрикционным цилиндром;

б) в последнем уравнении системы пренебрежем взаимным влиянием колебательного и вращательного движений, а также величиной радиальной деформации тела катушки  $W_{\ell=0,5b_1}$  по сравнению с текущими значениями радиуса тела катушки  $R_1(\phi)$ ;

$$\begin{aligned} J\ddot{\psi} + (c_{\Pi}L_1^2 + m_1L^2)\psi + m_1L\eta - m_2L\alpha_1 &= 0, \\ M\ddot{\zeta} + m_1\zeta - m_2\beta_1 &= Me\dot{\phi}^2 \sin \phi + fF_1T(U), \\ M\ddot{\eta} + (m_1 + cb_1)\eta + (cd - m_2)\alpha_1 + m_1L\psi &= Me\dot{\phi}^2 \cos \phi + cb_1\lambda_1 \cos(\phi + v_1), \\ A\ddot{\beta}_1 + m_3\beta_1 - m_2\zeta &= -(C - A)\delta\dot{\phi}^2 \cos(\phi - \varepsilon) + fK_1T(U), \\ A\ddot{\alpha}_1 + (cp + m_3)\alpha_1 + (cd - m_2)\eta - m_2L\psi &= (C - A)\delta\dot{\phi}^2 \sin(\phi - \varepsilon) + cd\lambda_1 \cos(\phi + v_1), \\ C\ddot{\phi} + M_C &= fF_1T(U)R_1(\phi), \end{aligned} \quad (1)$$

где  $T(U) = \text{sgn}U - \alpha_1^*U + \alpha_3^*U^3$ ;  $U = V_{\phi} - \dot{\phi}R_1(\phi) - \dot{\zeta} - d_0\dot{\beta}_1$ ;  
 $V_{\phi} = R_2\omega_{\phi}$ ;  $F_1 = cb_1[\rho_0 + \lambda_1 \cos(\phi + v_1) + \eta + d_0\alpha_1]$ ;  
 $K_1 = cb_1\{d_0[\rho_0 + \lambda_1 \cos(\phi + v_1) + \eta] + p_0\alpha_1\}$ ;  
 $d_0 = 0,5b_1 - \ell_0$ ;  $\rho_0 = R_1 + R_2 - a_1$ ;  $d = b_1d_0$ ;  
 $p = b_1p_0$ ;  $p_0 = \frac{b_1^2}{3} - b_1\ell_0 + \ell_0^2$ .

Анализ системы уравнений (1) показывает, что она может быть разделена на две системы уравнений. Одна система включает первое, третье и пятое, а другая – второе, четвертое и шестое уравнения системы (1). В первую систему входят линейные дифференциальные уравнения, описывающие вынужденные колебания рычага, линейные и угловые колебания ротора в направлении оси  $O_2\eta$  (горизонтальная плоскость). Вторая система, состоящая из нелинейных дифференциальных уравнений, описывает колебания ротора в направлении оси  $O_2\zeta$  (вертикальная плоскость), а также колебания угловой скорости

7) рассмотрим частный случай, когда  $\Psi_0 = \pi/2$ ,  $L\sin\Psi_0 = Y_0$ ,  $X_0 > 0$ , где  $X_0, Y_0$  – координаты оси фрикционного цилиндра;

8) считаем, что наряду с трением качения во всей зоне контакта между телом катушки и фрикционным цилиндром возможна реализация силы трения скольжения.

С учетом принятых допущений математическая модель [1 (22)] принимает вид:

сти вращения тела катушки  $\dot{\phi}$ . Вторая система зависит от первой, так как от координат  $\eta$  и  $\alpha_1$  зависят величины силы  $F_1$  и момента  $K_1$  контактного взаимодействия между телом катушки и фрикционным цилиндром, от которых, в свою очередь, зависят нелинейные сила трения и момент трения, входящие в правые части уравнений второй системы.

Будем считать, что скорость  $\dot{\phi}$  в течение периода колебаний изменяется незначительно. В этом случае угловая скорость вращения ротора может быть представлена в виде:  $\dot{\phi} = \omega + \mu\Delta\dot{\phi}$ , где  $\mu\Delta\dot{\phi}$  – малые вибрационные члены;  $\mu$  – малый положительный параметр;  $\omega$  – средняя скорость. Считая, что в системе генерируется близкое к равномерному вращению движение со средней скоростью  $\omega$ , и пренебрегая в первой системе уравнений малыми вибрационными членами, получим:

$$\begin{aligned} J\ddot{\psi} + (c_{\Pi}L_1^2 + m_1L^2)\psi + m_1L\eta - m_2L\alpha_1 &= 0, \\ M\ddot{\eta} + (m_1 + cb_1)\eta + (cd - m_2)\alpha_1 + m_1L\psi &= Me\omega^2 \cos \omega t + cb_1\lambda_1 \cos(\omega t + v_1), \\ A\ddot{\alpha}_1 + (cp + m_3)\alpha_1 + (cd - m_2)\eta - m_2L\psi &= (C - A)\delta\omega^2 \sin(\phi - \varepsilon) + cd\lambda_1 \cos(\omega t + v_1). \end{aligned} \quad (2)$$

Решение системы (2) не вызывает затруднений. В соответствии с видом возбу-

ждения ее решение для каждой из обобщенных координат имеет вид:

$$\Psi = A_1 \cos \omega t + B_1 \sin \omega t, \quad \eta = A_2 \cos \omega t + B_2 \sin \omega t, \quad \alpha_1 = A_3 \cos \omega t + B_3 \sin \omega t. \quad (3)$$

Подставляя эти решения в уравнение (2) и приравнявая нулю суммы членов, содержащих множители  $\sin \omega t$  и  $\cos \omega t$ , получаем две зависимые системы линейных алгебраических уравнений, которые в итоге следует объединить в одну общую систему. Из решения этой общей системы алгебраических уравнений, которое может быть получено, например, при помощи правила Крамера, легко определяются ам-

плитуды  $A_1(\omega)$ ,  $A_2(\omega)$ ,  $A_3(\omega)$ ,  $B_1(\omega)$ ,  $B_2(\omega)$ ,  $B_3(\omega)$ .

Рассмотрим теперь вторую систему уравнений. Предполагая, что нелинейные силовые факторы малы, в систему формально введем малый положительный параметр  $\mu$ , который впоследствии будет принят равным единице, и преобразуем систему к виду:

$$\begin{aligned} \ddot{\zeta} + n_1^2 \zeta + D_1 \beta_1 &= e \dot{\phi}^2 \sin \phi + \mu M^{-1} f F_1 T(U), \\ \ddot{\beta}_1 + n_2^2 \beta_1 + E_1 \zeta &= D_2 \dot{\phi}^2 \sin \phi + E_2 \dot{\phi}^2 \cos \phi + \mu A^{-1} f K_1 T(U), \\ \ddot{\phi} &= \mu C^{-1} [-M_c + f F_1 T(U) R_1(\phi)], \end{aligned} \quad (4)$$

где  $n_1^2 = \frac{m_1}{M}$ ;  $n_2^2 = \frac{m_3}{A}$ ;  $D_1 = -\frac{m_2}{M}$ ;  $E_1 = -\frac{m_2}{A}$ ;

$D_2 = \frac{(A-C)\delta \sin \varepsilon}{A} \approx \delta \sin \varepsilon$ ;  $E_2 = \frac{(A-C)\delta \cos \varepsilon}{A} \approx \delta \cos \varepsilon$ ;

$M_c = H(\dot{\phi}) + [f_k - \lambda_1 \cos(\phi - \nu_1)] F_1$ ;  $H(\phi)$  – составляющая момента сил сопротивления вращению тела катушки, равная сумме

моментов сил трения в подшипниках качения и сил аэродинамического сопротивления при вращении тела катушки [1].

Рассмотрим случай, когда нормальные частоты линейной системы далеки от частоты внешней силы.

При  $\mu = 0$  решение первых двух уравнений системы (4) имеет вид:

$$\begin{aligned} \zeta &= a \sin(k_1 t + \theta_1) + b \sin(k_2 t + \theta_2) + d_1 \sin \phi + e_1 \cos \phi, \\ \beta_1 &= \rho_1 a \sin(k_1 t + \theta_1) + \rho_2 b \sin(k_2 t + \theta_2) + d_2 \sin \phi + e_2 \cos \phi, \end{aligned} \quad (5)$$

где  $a$ ,  $b$ ,  $\theta_1$ ,  $\theta_2$  – постоянные интегрирования;  $k_1, k_2$  – нормальные частоты линейной однородной системы, являющиеся корнями уравнения

$$k^4 - (n_1^2 + n_2^2)k^2 + n_1^2 n_2^2 - D_1 E_1 = 0, \quad (6)$$

из которого следует  $k_2^2 > n_1^2$ ,  $k_2^2 > n_2^2$ ,  $k_1^2 < n_1^2$ ,  $k_1^2 < n_2^2$ ;  $\rho_1$ ,  $\rho_2$  – коэффициенты распределения, определяемые выражениями:

$$\rho_1 = -\frac{E_1}{n_2^2 - k_1^2} = -\frac{n_1^2 - k_1^2}{D_1} > 0,$$

$$\rho_2 = -\frac{E_1}{n_2^2 - k_2^2} = -\frac{n_1^2 - k_2^2}{D_1} < 0$$

Для амплитуд вынужденных колебаний имеем:

$$\begin{aligned} d_1 &= \frac{\dot{\phi}^2 [e(n_2^2 - \dot{\phi}^2) - D_1 D_2]}{\Delta}, \\ d_2 &= \frac{\dot{\phi}^2 [D_2(n_1^2 - \dot{\phi}^2) - E_1 e]}{\Delta}, \\ e_1 &= -\frac{D_1 E_2 \dot{\phi}^2}{\Delta}, \quad e_2 = \frac{\dot{\phi}^2 (n_1^2 - \dot{\phi}^2) E_2}{\Delta}, \\ \Delta &= \dot{\phi}^4 - (n_1^2 + n_2^2) \dot{\phi}^2 + n_1^2 n_2^2 - D_1 E_1. \end{aligned}$$

Предположим, что корни уравнения (6)  $k_1$  и  $k_2$  не равны друг другу ( $k_2 > k_1$ ) и ни один из них не равен нулю.

Решение первых двух уравнений системы (4) при  $\mu \neq 0$  будем искать в форме (5), считая, что  $a$ ,  $b$ ,  $\theta_1$ ,  $\theta_2$  – медленно меняю-

щиеся функции времени. Для третьего уравнения системы (4) принимаем  $\dot{\phi} = \varpi$ .

Используя принятые решения как формулы замены переменных, получим:

$$\begin{aligned} \frac{da}{dt} &= -\frac{\mu}{k_1\rho_1(k_2^2 - k_1^2)}(E_1f^* + D_1\rho_1q^*)\cos\psi_1, \\ \frac{db}{dt} &= \frac{\mu}{k_2\rho_2(k_2^2 - k_1^2)}(E_1f^* + D_1\rho_2q^*)\cos\psi_2, \\ a\frac{d\theta_1}{dt} &= \frac{\mu}{k_1\rho_1(k_2^2 - k_1^2)}(E_1f^* + D_1\rho_1q^*)\sin\psi_1, \\ b\frac{d\theta_2}{dt} &= -\frac{\mu}{k_2\rho_2(k_2^2 - k_1^2)}(E_1f^* + D_1\rho_2q^*)\sin\psi_2, \\ \frac{d\varpi}{dt} &= \mu C^{-1}[-M_C(\varpi, \phi) + p^*], \end{aligned} \quad (7)$$

где  $f^* = M^{-1}fF_1T(U)$ ,  $q^* = A^{-1}fK_1T(U)$ ,  $p^* = fF_1T(U)R_1$ ,  $\Psi_1 = k_1t + \theta_1$ ,  $\Psi_2 = k_2t + \theta_2$ ,  $U = V_\phi - \varpi[R_1 + \lambda_1\cos(\phi + v_1)] - ak_1\cos\Psi_1 - bk_2\cos\Psi_2 - d_1\varpi\cos\phi + e_1\varpi\sin\phi - d_0(\rho_1ak_1\cos\Psi_1 + \rho_2bk_2\cos\Psi_2 + d_2\varpi\cos\phi - e_2\varpi\sin\phi)$ .

Приближенные решения системы (7) будем искать в виде:

$$\begin{aligned} a &= u + \mu u_1, \quad b = v + \mu v_1, \quad \theta_1 = \Omega_1 + \mu\phi_1, \\ \theta_2 &= \Omega_2 + \mu\phi_2, \quad \varpi = \omega + \mu\phi_3, \end{aligned}$$

где  $\mu u_1, \mu v_1, \mu\phi_1, \mu\phi_2, \mu\phi_3$  – малые вибрационные члены;  $u, v, \Omega_1, \Omega_2, \omega$  – медленно изменяющиеся значения искоемых переменных, которые составляют главную часть решения и определяются из системы, получающейся после усреднения правых частей уравнений (7) по трем периодам  $2\pi/k_1, 2\pi/k_2, 2\pi/\omega$ :

$$\begin{aligned} \frac{du}{dt} &= -\frac{\mu}{k_1\rho_1(k_2^2 - k_1^2)}(E_1F_1^* + D_1\rho_1G_1^*), \\ \frac{dv}{dt} &= \frac{\mu}{k_2\rho_2(k_2^2 - k_1^2)}(E_1F_2^* + D_1\rho_2G_2^*), \\ \frac{d\Omega_1}{dt} &= \frac{\mu}{k_1\rho_1u(k_2^2 - k_1^2)}(E_1F_3^* + D_1\rho_1G_3^*), \\ \frac{d\Omega_2}{dt} &= -\frac{\mu}{k_2\rho_2v(k_2^2 - k_1^2)}(E_1F_4^* + D_1\rho_2G_4^*), \\ \frac{d\omega}{dt} &= \mu C^{-1}(F_5^* + G_5^*), \end{aligned} \quad (8)$$

$$\text{где} \quad F_1^* = \frac{1}{8\pi^3} \int_0^{2\pi} \int_0^{2\pi} \int_0^{2\pi} f^* \cos\psi_1 d\psi_1 d\psi_2 d\phi,$$

$$F_2^* = \frac{1}{8\pi^3} \int_0^{2\pi} \int_0^{2\pi} \int_0^{2\pi} f^* \cos\psi_2 d\psi_1 d\psi_2 d\phi,$$

$$F_3^* = \frac{1}{8\pi} \int_0^{2\pi} \int_0^{2\pi} \int_0^{2\pi} f^* \sin\psi_1 d\psi_1 d\psi_2 d\phi,$$

$$F_4^* = \frac{1}{8\pi^3} \int_0^{2\pi} \int_0^{2\pi} \int_0^{2\pi} f^* \sin\psi_2 d\psi_1 d\psi_2 d\phi,$$

$$F_5^* = -\frac{1}{8\pi^3} \int_0^{2\pi} \int_0^{2\pi} \int_0^{2\pi} M_C(\omega, \phi) d\psi_1 d\psi_2 d\phi,$$

$$G_1^* = \frac{1}{8\pi} \int_0^{2\pi} \int_0^{2\pi} \int_0^{2\pi} q^* \cos\psi_1 d\psi_1 d\psi_2 d\phi,$$

$$G_2^* = \frac{1}{8\pi^3} \int_0^{2\pi} \int_0^{2\pi} \int_0^{2\pi} q^* \cos\psi_2 d\psi_1 d\psi_2 d\phi,$$

$$G_3^* = \frac{1}{8\pi^3} \int_0^{2\pi} \int_0^{2\pi} \int_0^{2\pi} q^* \sin\psi_1 d\psi_1 d\psi_2 d\phi,$$

$$G_4^* = \frac{1}{8\pi^3} \int_0^{2\pi} \int_0^{2\pi} \int_0^{2\pi} q^* \sin\psi_2 d\psi_1 d\psi_2 d\phi,$$

$$G_5^* = \frac{1}{8\pi^3} \int_0^{2\pi} \int_0^{2\pi} \int_0^{2\pi} p^*(\omega, \phi) d\psi_1 d\psi_2 d\phi,$$

$$f^* = M^{-1}f\Phi(\omega)T(U),$$

$$q^* = A^{-1}f[W_1(\omega)\cos\phi + V_1(\omega)\sin\phi + c_s d_0]T(U),$$

$$M_C(\omega) = H(\omega) + (f_K - \ell_1 \sin\phi - \ell_2 \cos\phi)\Phi(\omega),$$

$$\ell_1 = \lambda_1 \cos v_1, \quad \ell_2 = \lambda_1 \sin v_1, \quad p^*(\omega) = fR_1\Phi(\omega)T(U),$$

$$\begin{aligned}
c_* &= cb_1\rho_0, \quad \Phi(\omega) = Q_1(\omega)\cos\phi + S_1(\omega)\sin\phi + c_*, \\
U &= V_\phi - \omega R_1 - K_1(\omega)\cos\phi + L_1(\omega)\sin\phi - \\
&- ak_1(1+d_0\rho_1)\cos\psi_1 - bk_2(1+d_0\rho_2)\cos\psi_2, \\
K_1(\omega) &= \omega[\lambda_1\cos v_1 + d_1(\omega) + d_0d_2(\omega)], \\
L_1(\omega) &= \omega[\lambda_1\sin v_1 + e_1(\omega) + d_0e_2(\omega)], \\
Q_1(\omega) &= cb_1[\lambda_1\cos v_1 + A_2(\omega) + d_0A_3(\omega)], \\
S_1(\omega) &= cb_1[-\lambda_1\sin v_1 + B_2(\omega) + d_0B_3(\omega)], \\
W_1(\omega) &= cb_1[\lambda_1d_0\cos v_1 + A_2(\omega)d_0 + A_3(\omega)p_0], \\
V_1(\omega) &= cb_1[-\lambda_1d_0\sin v_1 + B_2(\omega)d_0 + B_3(\omega)p_0].
\end{aligned}$$

Подставляя вычисленные значения интегралов в уравнения (8), после преобразований получим:

$$\begin{aligned}
\frac{du}{dt} &= A_0u[a_0(\omega) - u - 2v], \\
\frac{dv}{dt} &= B_0v[b_0(\omega) - v - 2u], \\
\frac{d\omega}{dt} &= c_0(\omega) + \kappa_0(\omega)(u + v).
\end{aligned} \quad (9)$$

$$\begin{aligned}
a_0(\omega) &= \frac{4\alpha_1^*}{3\alpha_3^*} - 4\{(V_\phi - \omega R_1)^2 - \frac{V_\phi - \omega R_1}{c_*\chi_1}[K_1(\omega)(Q_1(\omega) + \rho_1 W_1(\omega)) - L_1(\omega)(S_1(\omega) + \rho_1 V_1(\omega))] + 0,5(L_1^2(\omega) + K_1^2(\omega))\}, \\
b_0(\omega) &= \frac{4\alpha_1^*}{3\alpha_3^*} - 4\{(V_\phi - \omega R_1)^2 - \frac{V_\phi - \omega R_1}{c_*\chi_2}[K_1(\omega)(Q_1(\omega) + \rho_2 W_1(\omega)) - L_1(\omega)(S_1(\omega) + \rho_2 V_1(\omega))] + 0,5(L_1^2(\omega) + K_1^2(\omega))\}, \\
\kappa_0(\omega) &= 0,75fR_1\alpha_3^*C^{-1}[2c_*(V_\phi - \omega R_1) + S_1(\omega)L_1(\omega) - Q_1(\omega)K_1(\omega)], \\
c_0(\omega) &= C^{-1}\{-H(\omega) - f_k c_* + 0,5[\ell_1 S_1(\omega) + \ell_2 Q_1(\omega)] + fR_1[c_* - 0,5\alpha_1^*(2c_*(V_\phi - \omega R_1) - Q_1(\omega)K_1(\omega) + \\
&+ S_1(\omega)L_1(\omega)) + 0,5\alpha_3^*[2c_*(V_\phi - \omega R_1)^3 + 3(V_\phi - \omega R_1)^2(S_1(\omega)L_1(\omega) - Q_1(\omega)K_1(\omega)) + \\
&+ 3c_*(V_\phi - \omega R_1)(L_1^2(\omega) + K_1^2(\omega)) - 1,5K_1(\omega)Q_1(\omega)(L_1^2(\omega) + 0,5K_1^2(\omega)) + \\
&+ 1,5S_1(\omega)L_1(\omega)(0,5L_1^2(\omega) + K_1^2(\omega))]\}.
\end{aligned}$$

В систему (9) не вошли третье и четвертое уравнения системы (8), так как в результате вычислений имеем:

$$\begin{aligned}
\frac{d\Omega_1}{dt} &= 0 \Rightarrow \Omega_1 = \theta_1 = \text{const}, \\
\frac{d\Omega_2}{dt} &= 0 \Rightarrow \Omega_2 = \theta_2 = \text{const}.
\end{aligned}$$

Остановимся на анализе системы (9) методами качественной теории дифференциальных уравнений [2], [3]. Для нахождения стационарных решений этой системы необходимо приравнять нулю ее правые

Выражение переменных  $u$  и  $v$  через исходные переменные  $a$  и  $b$  имеет вид:

$$u = a^2 k_1^2 \chi_1^2 > 0, \quad v = b^2 k_2^2 \chi_2^2 > 0,$$

$$\chi_1 = 1 + d_0\rho_1, \quad \chi_2 = 1 + d_0\rho_2.$$

Остальные величины, входящие в правые части системы (9), имеют значения:

$$A_0 = \frac{3m_2 f c_* \alpha_3^* \chi_1^2}{4AM\rho_1(k_2^2 - k_1^2)} > 0,$$

$$B_0 = -\frac{3m_2 f c_* \alpha_3^* \chi_2^2}{4AM\rho_2(k_2^2 - k_1^2)} > 0,$$

части и из полученных таким образом уравнений определить искомые величины.

Считая, что в системе генерируется близкое к равномерному вращению движение со средней скоростью  $\omega = \text{const}$ , из третьего уравнения системы следует:

$$c_0(\omega) + \kappa_0(\omega)(u + v) = 0. \quad (10)$$

Данное уравнение накладывает дополнительное ограничение на параметры  $u$  и  $v$ , а следовательно, и на амплитуды  $a$ ,  $b$ , но не оказывает влияния на характер состояний равновесия системы (9). Уравнение (10) отражает баланс моментов относи-

тельно оси вращения тела намотки: момент от сил трения в пятне контакта тело намотки – фрикционный цилиндр уравновешивается моментом сопротивления вращению тела намотки.

Значения  $u$  и  $v$ , соответствующие особым точкам (состояниям равновесия) этой системы, будем искать из уравнений, которые получаются после приравнивания нулю правых частей первых двух уравнений (9):

$$P(u, v) = A_0 u [a_0(\omega) - u - 2v] = 0,$$

$$Q(u, v) = B_0 v [b_0(\omega) - v - 2u] = 0.$$

Так как  $u = a^2 k_1^2 \chi_1^2 > 0$  и  $v = b^2 k_2^2 \chi_2^2 > 0$ , то будем рассматривать только первый квадрат плоскости  $uv$ .

Особыми точками будут:

точка  $P_1$ :  $u_1=0, v_1=0$ ; из выражений (5) следует, что при  $d_1=e_1=d_2=e_2=0$  эта точка соответствует состоянию равновесия исходной системы; при  $d_1 \neq 0, e_1 \neq 0, d_2 \neq 0, e_2 \neq 0$  – движению с частотой  $\omega$  внешней силы;

точка  $P_2$ :  $u_2=0, v_2=b_0(\omega)$ ; при  $d_1=e_1=d_2=e_2=0$  точка  $P_2$  соответствует периодическому движению с частотой  $k_2$ ; при  $d_1 \neq 0, e_1 \neq 0, d_2 \neq 0, e_2 \neq 0$  – бигармоническому движению с частотами  $k_2$  и  $\omega$ ;

$$p = - \left[ \frac{\partial P(u_0, v_0)}{\partial u} + \frac{\partial Q(u_0, v_0)}{\partial v} \right], \quad q = \frac{\partial P(u_0, v_0)}{\partial u} \frac{\partial Q(u_0, v_0)}{\partial v} - \frac{\partial P(u_0, v_0)}{\partial v} \frac{\partial Q(u_0, v_0)}{\partial u},$$

где  $u_0, v_0$  – координаты состояний равновесия.

Для исследуемой системы (9) имеем:

$$p = 2(u + v) (A_0 + B_0) - [A_0 a_0(\omega) + B_0 b_0(\omega)],$$

$$q = A_0 B_0 [a_0(\omega) - 2(u + v)][b_0(\omega) - 2(u + v)] - 4A_0 B_0 uv.$$

Для состояния равновесия  $P_1(u_1=0, v_1=0)$ :

$$p = - [A_0 a_0(\omega) + B_0 b_0(\omega)],$$

$$q = A_0 B_0 a_0(\omega) b_0(\omega).$$

Для состояния равновесия  $P_2(u_2=0, v_2=b_0(\omega))$ :

$$p = B_0 b_0(\omega) + A_0 [2b_0(\omega) - a_0(\omega)],$$

точка  $P_3$ :  $u_3=a_0(\omega), v_3=0$ ; при  $d_1=e_1=d_2=e_2=0$  точка  $P_3$  соответствует периодическому движению с частотой  $k_1$ ; при  $d_1 \neq 0, e_1 \neq 0, d_2 \neq 0, e_2 \neq 0$  – бигармоническому движению с частотами  $k_1$  и  $\omega$ ;

$$\text{точка } P_4: \quad u_4 = \frac{1}{3} [2b_0(\omega) - a_0(\omega)],$$

$v_4 = \frac{1}{3} [2a_0(\omega) - b_0(\omega)]$ ; при  $d_1=e_1=d_2=e_2=0$  точка  $P_4$  соответствует бигармоническому движению с частотами  $k_1$  и  $k_2$ ; при  $d_1 \neq 0, e_1 \neq 0, d_2 \neq 0, e_2 \neq 0$  – тригармоническому движению системы с частотами  $k_1, k_2, \omega$ .

Следует отметить, для всех четырех особых точек (состояний равновесия) случай  $d_1=e_1=d_2=e_2=0$  теоретически соответствует случаю отсутствия в системе вынужденных колебаний из-за идеальной статической и динамической уравновешенности ротора ( $e = \delta = 0$ ) и полного совмещения оси вращения тела намотки с его геометрической осью ( $\lambda_1=0$ ), и, как следствие всего этого:

$$A_1(\omega) = A_2(\omega) = A_3(\omega) = B_1(\omega) = B_2(\omega) = B_3(\omega) = 0.$$

Характер состояний равновесия определяем по знакам величин:

$$q = A_0 B_0 b_0(\omega) [2b_0(\omega) - a_0(\omega)].$$

Для состояния равновесия  $P_3 (u_3= a_0(\omega), v_3=0)$ :

$$p = A_0 a_0(\omega) + B_0 [2a_0(\omega) - b_0(\omega)],$$

$$q = A_0 B_0 a_0(\omega) [2a_0(\omega) - b_0(\omega)].$$

Для состояния равновесия  $P_4$  ( $u_4 = \frac{1}{3} [2b_0(\omega) - a_0(\omega)], v_4 = \frac{1}{3} [2a_0(\omega) - b_0(\omega)]$ ):

$$p = A_0 u_4 + B_0 v_4, \quad q = -3A_0 B_0 u_4 v_4.$$

Для состояния равновесия  $P_4$  имеем  $q < 0$ , так как  $A_0 > 0, B_0 > 0, u_4 > 0, v_4 > 0$ . Следовательно, состояние равновесия вне осей  $P_4$

является седлом. Существование и характер состояний равновесия системы (9) (табл. 1) определяется величинами  $a_0(\omega)$  и  $b_0(\omega)$ , которые зависят от параметров, характеризующих трение скольжения между телом намотки и фрикционным цилиндром, раз-

ности между их окружными скоростями, амплитуд линейных и угловых колебаний ротора в вертикальной и горизонтальной плоскостях, эксцентricности тела намотки, угловой скоростью ротора  $\omega$ .

Т а б л и ц а 1

№ п/п	Случай	Состояние равновесия			
		$P_1$	$P_2$	$P_3$	$P_4$
1	$a_0(\omega) < 0, b_0(\omega) < 0$	Устойчивый узел	Нет	Нет	Нет
2	$a_0(\omega) > 0, b_0(\omega) < 0$	Седло	Нет	Устойчивый узел	Нет
3	$a_0(\omega) < 0, b_0(\omega) > 0$	Седло	Устойчивый узел	Нет	Нет
4	$a_0(\omega) > 0, b_0(\omega) > 0, a_0(\omega) > 2b_0(\omega)$	Неустойчивый узел	Седло	Устойчивый узел	Нет
5	$a_0(\omega) > 0, b_0(\omega) > 0, a_0(\omega) < 2b_0(\omega), a_0(\omega) \geq b_0(\omega)$	Неустойчивый узел	Устойчивый узел	Устойчивый узел	Седло
6	$a_0(\omega) > 0, b_0(\omega) > 0, 2a_0(\omega) > b_0(\omega), b_0(\omega) \geq a_0(\omega)$	Неустойчивый узел	Устойчивый узел	Устойчивый узел	Седло
7	$a_0(\omega) > 0, b_0(\omega) > 0, b_0(\omega) > 2a_0(\omega)$	Неустойчивый узел	Устойчивый узел	Седло	Нет

Так как  $u=0, v=0$  – интегральные кривые и кроме седла вне осей других особых точек нет, то система (9) предельных циклов не имеет. Аналогичный результат – отсутствие предельных циклов для систем, близких к

двум первым уравнениям системы (9), был получен в работе [3], но при этом был использован критерий Бендиксона - Дюлака отсутствия предельных циклов.

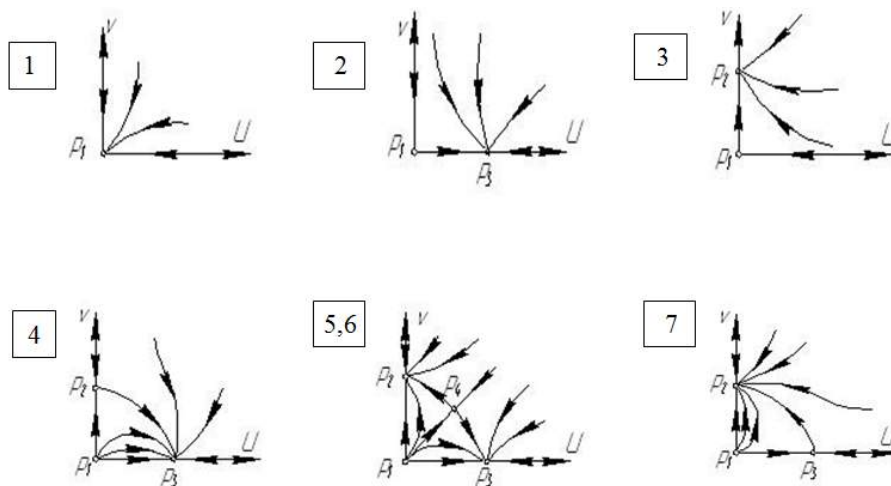


Рис. 1

На рис. 1 показаны картины фазовой плоскости для случаев, представленных в табл. 1.

Покажем, что в системе возможны незатухающие колебательные режимы с частотами  $k_1$  или  $k_2$  даже в случае идеальной статической и динамической равнове-

шенности ротора ( $\epsilon = \delta = 0$ ) и полного совмещения оси вращения тела намотки с его геометрической осью ( $\lambda_1=0$ ), и, как следствие всего этого:

$$d_1 = e_1 = d_2 = e_2 = A_1(\omega) = A_2(\omega) = A_3(\omega) = B_1(\omega) = B_2(\omega) = B_3(\omega) = 0.$$

Нетрудно убедиться, что в этом случае:

$$a_0(\omega) = b_0(\omega) = \frac{4\alpha_1^*}{3\alpha_3^*} - 4(V_\phi - \omega R_1)^2. \quad (11)$$

В первом случае (см. табл. 1) система при  $a_0(\omega) < 0$ ,  $b_0(\omega) < 0$  будет находиться в состоянии равновесия (отсутствует какое либо движение), в пятом  $a_0(\omega) > 0$ ,  $b_0(\omega) > 0$ ,  $a_0(\omega) < 2b_0(\omega)$ ,  $a_0(\omega) \geq b_0(\omega)$  и шестом  $a_0(\omega) > 0$ ,  $b_0(\omega) > 0$ ,  $2a_0(\omega) > b_0(\omega)$ ,  $b_0(\omega) \geq a_0(\omega)$  случаях реализуются состояния равновесия  $P_2$  или  $P_3$ , соответствующие возникновению в системе периодических колебаний с частотами  $k_1$  или  $k_2$ .

Таким образом, условие возникновения в системе периодических колебаний с частотами  $k_1$  или  $k_2$  имеет вид:

$$\frac{4\alpha_1^*}{3\alpha_3^*} > 4(V_\phi - \omega R_1)^2. \quad (12)$$

В условие (12) и выражения для параметров  $u$  и  $v$ , а следовательно, и амплитуд  $a$ ,  $b$ , входят постоянные  $\alpha_1^*$ ,  $\alpha_3^*$ , характеризующие трение в пятне контакта между телом намотки и фрикционным цилиндром, а также разность между их окружными скоростями  $V_\phi - \omega R_1$ . Данное обстоятельство позволяет сделать вывод о том, что периодические колебаний с частотами  $k_1$  или  $k_2$  являются автоколебаниями.

Однако случаи идеальной статической и динамической уравновешенности ротора ( $\epsilon = \delta = 0$ ) и полного совмещения оси вращения тела намотки с его геометрической осью ( $\lambda_1 = 0$ ) не достижимы с практической точки зрения, и в системе устанавливаются смешанные колебания с частотой  $k_1$  или  $k_2$  и вынужденные колебания с частотой  $\omega$ .

## ВЫВОДЫ

1. Фрикционные намоточные механизмы в отличие от роторных систем других видов относятся к механическим системам, в которых могут реализовываться смешанные колебания согласно классификации [4] класса ВА – взаимодействие вынужденных колебаний, обусловленных наличием статической, динамической неуравновешенностей ротора и кинематического возбуждения, вызванного смещением оси вращения тела намотки относительно его геометрической оси, и автоколебаний, возникающих из-за наличия автоколебательного механизма, связанного с фрикционным взаимодействием тела намотки и фрикционного цилиндра.

2. Взаимодействие вынужденных колебаний и автоколебаний качественно и количественно изменяет характер колебаний фрикционных намоточных механизмов.

3. Для подтверждения наличия автоколебаний во фрикционных намоточных механизмах необходимо провести комплекс экспериментальных исследований.

## ЛИТЕРАТУРА

1. Степанов С.Г., Малеев Д.С., Чистобородов Г.И. Математическая модель для исследования нелинейных колебаний фрикционных намоточных механизмов рычажного типа // Изв. вузов. Технология текстильной промышленности. – 2013, №5. С.140...146.
2. Бутенин Н.Н., Неймарк Ю.И., Фуфаев Н.А. Введение в теорию нелинейных колебаний. – М.: Наука, 1987.
3. Баутин Н.В., Леонтович Е.Л. Методы и приемы качественного анализа исследования динамических систем на плоскости. – М.: Наука, 1976.
4. Алифов А.А., Фролов К.В. Взаимодействие нелинейных колебательных систем с источниками энергии. – М.: Наука, 1985.

Рекомендована кафедрой инженерной графики ИГТА. Поступила 03.10.12.